

단분자 막의 실험에 의한 콜레스테롤을 갖는 고분자의 분자량 측정

조의환·정상원·신재섭*†

한국과학기술원 서울분원 신소재공학과, *충북대학교 자연과학대학 화학과

(1993년 10월 12일 접수)

Molecular Weight Determination of Cholesterol-Containing Polymer by Monolayer Study

Iwhan Cho, Sang Won Jeong, and Jae Sup Shin*†

Department of Advanced Materials Engineering, Korea Advanced Institute of Science and Technology,

P. O. Box 201, Cheongryang, Seoul 130-650, Korea

*Department of Chemistry, Chungbuk National University, Cheongju, Chungbuk 360-763, Korea

(Received October 12, 1993)

요약 : 콜레스테롤을 갖는 단량체와 N-vinylpyrrolidone를 공중합하여 amphiphilic 고분자를 합성하였으며 이 고분자를 이용하여 단분자막 실험을 하였다. Trough를 이용하여 π -A curve를 얻었으며 이 결과로 부터 π A- π 관계식을 유도하여 이 고분자의 분자량을 측정하였다. 이 결과로부터 측정된 분자량 값과 GPC 실험으로부터 얻은 분자량 값은 거의 비슷하였다.

Abstract : Copolymerization of cholesterol-containing monomer and N-vinylpyrrolidone was carried out to make amphiphilic polymer. Using a trough monolayer study for this polymer was done and π -A curves were obtained. The molecular weight of this polymer was determined from π A- π relationship. These results were almost similar with the molecular weight obtained by GPC.

서 론

콜레스테롤은 생체막에 중요한 한 성분이며 이와 같이 생체막에 들어있는 sterol들은 매우 중요한 생물학적인 역할들을 수행하고 있다. 콜레스테롤은 bile salts나 lecithin과 같은 다른 amphiphile들의 도움이 없으면 물에 녹기가 매우 어렵다. 콜레스테롤은 정상적인 사람의 피 속에 약 200 mg/100 mL의 농도로 존재하며, 담성증과 동맥경화증의 중요 요인 중에 하나로 알려져 있다.^{1~5}

본 연구팀은 콜레스테롤을 갖는 monomeric amphiphile들을 합성하여 고분자화된 vesicle들을 형성 시켜 보고하였으며^{6~8} 이 vesicle들을 콜레스테롤을 추출하는데 이용하였다.⁹ 또한 콜레스테롤을 갖는 비이온성 amphiphilic 고분자를 합성하여 이 고분자를 콜레스테롤을 추출하는데 이용하였다.¹⁰

본 연구에서는 콜레스테롤을 갖는 새로운 amphiphilic 고분자를 합성하고 이러한 고분자로 형성된 단분자막의 물성을 이용하여 고분자의 분자량을 결정할 수 있는 방법에 대해 보고하려고 한다. 단분자

막에 대한 연구는 최근에 매우 활발히 연구되는 분야로서 과거에는 저분자량의 유기 분자들이 주요 대상이 되어 왔으나 최근에는 고분자 물질들에 관한 연구도 활발히 진행되고 있다.^{11~13} 고분자의 분자량과 단분자막의 물성과의 관계에 관한 연구는 Kawaguchi 등이 poly(methyl methacrylate)¹⁴와 poly(ethylene oxide)¹⁵를 이용하여 시도하였다.

본 연구에서는 정확한 분자량 측정이 매우 어려운 amphiphilic한 공중합체를 대상으로하여 단분자막의 물성으로부터 측정한 분자량 값과 gel permeation chromatography(GPC)를 이용하여 측정한 분자량 값을 비교하여 보았다.

실험

시약. 본 실험에 사용된 cholesterol, 1,6-hexanediol, N-vinylpyrrolidone(NVP), hexamethylphosphoric triamide(HMPT), diisopropylamine, 2,2'-azobisisobutyronitrile(AIBN), n-butyllithium은 Aldrich 제품을 사용하였다.

기기. Nuclear magnetic resonance spectrometer는 Varian T-60A와 Bruker AM-300을 사용하였으며, infrared spectrophotometer는 Bomem FT-IR MB-100 spectrometer를 사용하였다. Thin-layer chromatography는 Merck 60 F-254를 사용하였다. Chromatography를 이용한 분리는 Merck silica gel 60 particle size 0.063~0.200 mm(70~230 mesh ASTM)를 이용하여 실시하였다. 분자량 결정을 위한 gel permeation chromatography는 Waters Model 510을 이용하여 측정하였다. 원소 분석은 CARLO ERBA elemental analyzer MOD 1106을 사용하였다.

1-Ethenyl-3-(6-(cholest-5-en-3 β -yloxy)hexyl)-2-pyrrolidone(1a)의 합성. 0.118 mole의 n-butyllithium을 갖는 hexane 용액(2.5 M) 47.3 ml에 10.6 ml(75.4 mmole)의 diisopropylamine을 100 ml의 tetrahydrofuran에 녹인 용액을 argon 대기하의 -78°C에서 더한다. 이 용액의 온도를 0°C로 올려 15

분동¹⁶을 둔 후 이 용액의 온도를 -78°C로 낮춘다. 이 용액에 0.0150 mole의 hexamethylphosphoric triamide(HMPT)를 더한 후 8.4 g(76 mmole)의 N-vinylpyrrolidone을 한방울씩 가한다. 이 때 노란색의 용액이 형성되는데 -78°C에서 두시간동안 더 반응시킨다. 이 용액에 23.7 g(37.8 mmole)의 6-(cholest-5-en-3 β -yloxy)hexyl bromide¹⁶를 100 ml의 tetrahydrofuran에 녹인 용액을 -78°C에서 12시간 동안 놓아 둔 후 상온으로 온도를 올리고 12시간동안 stirring한다. Diethyl ether를 이용해 용액을 물에 다음 5 N NH₄Cl 수용액을 이용해 반응을 멈추게 한다. Ether 층을 1 N HCl 수용액을 이용해 씻어준 후, NaHCO₃ 수용액과 포화 NaCl 수용액과 불을 이용해 차례로 씻어준다. 물을 완전히 제거한 후 용매를 완전히 제거하면 crude한 어두운 갈색의 syrup이 얻어진다. 이것을 silica gel을 이용한 column chromatography를 사용하여 정제한다. 이 때 사용한 용매는 petroleum ether와 tetrahydrofuran이 4 : 1로 섞여 있는 혼합 용매를 사용하였다. 워하는 생성물만 분리한 후 진공하에서 건조하면 하얀색의 1a가 얻어진다.(14.5 g, yield : 58.0%)

H-NMR(CDCl₃ : 300 MHz) δ 0.63~2.50(m, 56 H), 3.25~3.31(m, 1 H), 3.31~3.45(m, 4 H), 4.31~4.39(t, 2 H), 5.30(b, 1 H), 6.94~7.02(q, 1 H)

C₃₉H₆₅NO₂ Calc. C 80.77, H 11.30, N 2.42
Found C 80.77, H 11.48, N 2.88

1-Ethenyl-3-(8-(cholest-5-en-3 β -yloxy)-3,6-dioxaooctyl)-2-pyrrolidone(1b)의 합성. 1a의 합성에서 사용된 방법과 같은 방법으로 합성하였다. 마지막 분리 단계에서 column chromatography에 사용한 용매는 petroleum ether와 tetrahydrofuran이 5 : 2로 섞여 있는 혼합 용매를 사용하였다. 10.8 g의 1b가 얻어졌다.(yield : 43.5%)

H-NMR(CDCl₃ : 300 MHz) δ 0.58~2.25(m, 48 H), 3.25~3.31(m, 1 H), 3.37~3.55(m, 12 H), 4.31~4.39(t, 2 H), 5.22~5.23(d, 1 H), 7.01~7.09(q, 1 H)

단분자 막의 실험에 의한 콜레스테롤을 갖는 고분자의 분자량 측정

$C_{39}H_{65}NO_4$ Calc. C 76.55, H 10.71, N 2.29
Found C 76.64, H 11.04, N 2.68

공중합. NVP와 1a 또는 1b를 이용하여 공중합하였다. 개시제로는 2 mole %의 AIBN을 사용하였으며 용매로는 2-propanol을 사용하였다. 위의 monomer들을 glass ampoule에 넣고 열림과 녹임을 반복하면서 진공을 걸어 녹아있는 기체까지 완전히 제거한 후 ampoule을 봉하였다. 중합반응은 70°C의 oil bath 안에서 24시간동안 실시하였다. ampoule을 개봉한 후 용매를 증발시키고 남은 물질을 diethyl ether에서 결정화시켰다. 형성된 공중합체를 거르고 진공하에서 건조시켰다.

Monolayer Study를 이용한 분자 측정. 컴퓨터에 의해 조절되는 film balance(San-esu Keisoku model FSD-50)을 사용하여 π -A curve를 얻었다. Trough의 크기는 $600 \times 150 \text{ mm}^2$ 이고 $20.0 \pm 0.1^\circ\text{C}$ 를 유지하였다.

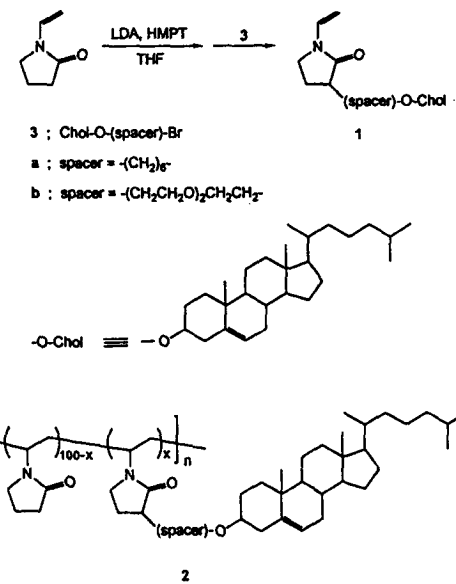
10 ml의 CHCl_3 에 정확하게 무게를 측정한 10 mg 정도의 고분자 물질을 녹인 후 30 μl 의 이 용액을 trough 위에 조심스럽게 spreading하였다. Compress 속도는 0.2 mm/sec이였다.

GPC를 이용한 분자량 측정. Waters model 510 을 이용하여 측정하였으며 용매로는 tetrahydrofuran을 이용하였으며 flow rate는 1 ml/min이였다. 분자량 계산은 polystyrene standard를 이용하여 실시하였다.

결과 및 고찰

공중합체 합성. 1a와 1b의 합성 과정을 Scheme 1에 나타내 보였으며 또한 이들로부터 형성된 공중합체의 구조도 역시 Scheme 1에 나타내었다.

이 중합체에서 친수성 부분은 poly(N-vinylpyrrolidone)(PVP) 부분이며 콜레스테롤을 갖고 있는 부분이 소수성 부분이다. 이 공중합체를 합성한 목적은 이 공중합체를 콜레스테롤을 추출할 수 있는 system으로서 이용하려는 것이다. 콜레스테롤은 인간의 피부 속에 축적되어 고혈압 등과 같은 성인병의 주요



Scheme 1.

원인이 되고 있다. 본 연구의 결과가 이러한 인간의 피부 속에 축적되어 있는 콜레스테롤을 추출할 수 있는 의약의 개발에 좋은 model system이 될 수 있을 것으로 생각한다.

본 연구에서 PVP를 선택하게 된 이유는 PVP가 독성이 매우 낮으며 화학 반응성 또한 매우 적기 때문이다. 실제로 PVP는 plasma의 대용물로 사용되고 있다.

본 실험에서 합성한 공중합체는 친수성 부분인 PVP 부분과 소수성 부분인 콜레스테롤을 결사슬을 갖는 부분의 비를 조절하여 각각의 monomer의 몰비에 따라 N-vinylpyrrolidone(NVP) : 1a = 5 : 1인 경우 합성된 공중합체를 5A로, NVP : 1a = 10 : 1인 경우 합성된 공중합체를 10A로, NVP : 1a = 20 : 1인 경우 합성된 공중합체를 20A로 각각 명하였다. 1b에 대해서도 1a에서와 같은 방법으로 합성하여 얻어진 공중합체를 각각 5B, 10B, 20B로 명하였다.

Monolayer Study를 이용한 분자량 측정. Trough 위에 공중합체를 chloroform에 녹여 spreading한 후에 compress를 하여 Π -A curve를 얻었다. 이 Π -A curve의 초기 상태, 즉 막 compress를 시작

하였을 때의 상태를 gaseous 상태라고 말할 수 있다. 이 때 적용할 수 있는 two dimensional 기체 방정식은 다음과 같다.

$$\Pi A = nRT + nA_0\Pi \quad (1)$$

A : Area(m^2)

Π : Surface pressure(N/m)

R : Gas constant(J/K)

T : Temperature(K)

여기서 $\Pi \rightarrow 0$ 일 때의 상태를 이상 기체의 상태로 볼 수 있으면 이 때 위의 방정식은 다음과 같이 된다.

$$(\Pi A)_{\Pi \rightarrow 0} = nRT = \frac{W}{M_w} RT \quad (2)$$

W : Weight(g)

Mw : Molecular weight

Π 값을 x축으로 ΠA 값을 y축으로 해서 그래프를 그리면 y축의 절편 값으로부터 $(\Pi A)_{\Pi \rightarrow 0}$ 값을 얻을 수 있다. Fig. 1은 5A, Fig. 2는 10A, Fig. 3는 20A 각각의 경우의 공중합체로 부터 얻은 실험 결과이다. 이 그래프들로부터 $(\Pi A)_{\Pi \rightarrow 0}$ 을 구해 각각의 경우에 분자량 값을 구한 결과가 Table 1에 나타나 있다. 5B, 10B, 20B에 대해서도 위에서와 같은 방법으로 실험하고 결과를 처리하여 각각의 경우의 분자량을

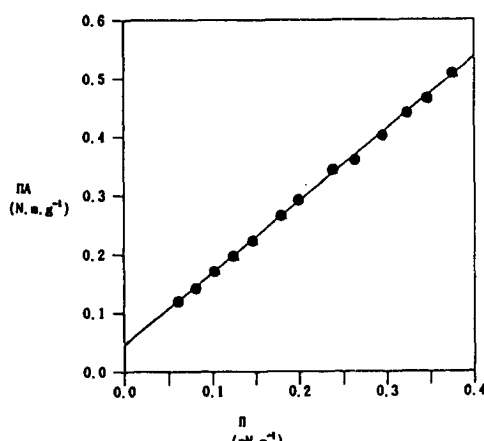


Fig. 1. ΠA - Π relationships for monolayer of copolymer 5A.

구하였으며 그 결과들을 Table 1에 함께 나타내었다.

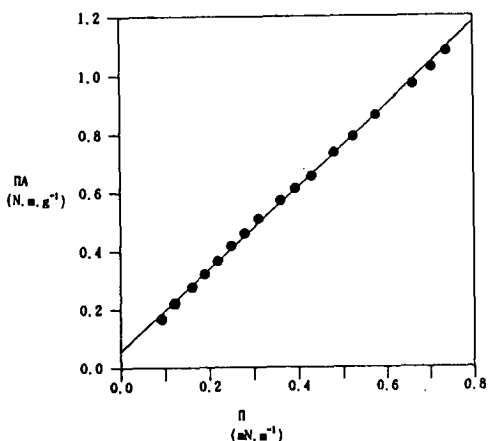


Fig. 2. ΠA - Π relationships for monolayer of copolymer 10A.

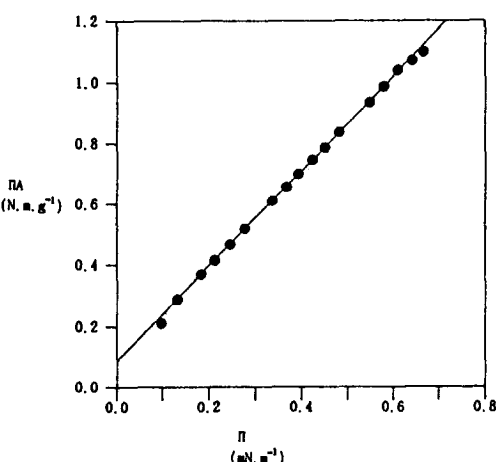


Fig. 3. ΠA - Π relationships for monolayer of copolymer 20A.

Table 1. Molecular Weight of Cholesterol-Containing Copolymers

	Monolayer study	GPC
5A	12,800	10,500
10A	10,300	8,600
20A	9,400	7,200
5B	7,800	6,200
10B	5,400	4,800
20B	2,900	2,500

단분자 막의 실험에 의한 콜레스테롤을 갖는 고분자의 분자량 측정

Table 1의 결과에서 보듯이 monolayer 연구에서 얻은 분자량 값은 GPC로 부터 얻은 수 평균 분자량 값보다 조금 큰 값들이기는 하지만 비교적 비슷한 값들이 얻어졌음을 보여주고 있다. 물론 GPC로 부터 얻은 수 평균분자량 값은 polystyrene을 standard로 이용한 상대적인 값으로 절대적인 값이라고 보기는 어렵지만 GPC의 결과와 본 연구의 결과는 같은 경향을 보여주었다.

감사의 글 : 이 연구는 1993년도 한국과학재단 특정기초 연구비 지원에 의한 결과임을 감사드립니다.
(과제번호 : 91-03-00-09)

또한 실험에 많은 도움을 주신 Kyushu 대학의 Kunitake 교수에게 감사드립니다.

참 고 문 헌

1. D. Mufson, K. Meksuwan, J. E. Zarembo, and L. J. Ravin, *Science*, **177**, 701 (1972).
2. R. Lester, M. C. Carey, J. M. Little, and S. R. Dowd, *Science*, **189**, 1098 (1975).
3. R. A. Burns and M. F. Roberts, *Biochemistry*, **20**, 7102 (1981).
4. S. Pal and S. P. Moulikkk, *J. Lipid Res.*, **24**, 1281 (1983).
5. H. Schott and F. A. A. Sayeed, *J. Colloid Interface Sci.*, **112**, 274 (1986).
6. I. Cho and K. C. Chung, *Macromolecules*, **17**, 2935 (1984).
7. I. Cho and K. C. Chung, *Macromolecules*, **21**, 565 (1988).
8. I. Cho and J. G. Park, *Chem. Lett.*, 977 (1987).
9. I. Cho, S. H. Kim, and J. S. Shin, *J. Kor. Ind. Eng. Chem.*, **3**, 273 (1992).
10. I. Cho and Y. W. Kim, *Polymer Bulletin*, **24**, 545 (1990).
11. I. F. Chi, R. R. Johnston, H. Ringsdorf, N. Kimizuka, and T. Kunitake, *Thin Solid Film*, **210/211**, 111 (1992).
12. J. B. Peng, G. T. Barnes, A. Schuster, and H. Ringsdorf, *Thin Solid Film*, **210/211**, 16 (1992).
13. M. N. Teerenstra, E. J. Vorenkamp, A. J. Schouten, R. J. M. Nolte, C. A. Walree, J. F. Pol, and J. W. Zwinkker, *Thin Solid Film*, **210/211**, 496 (1992).
14. M. Kawaguchi, A. Yoshida, and A. Takahashi, *Macromolecules*, **16**, 956 (1983).
15. M. Kawaguchi, S. Komatsu, M. Matsuzumi, and A. Takahashi, *J. Colloid Interface Sci.*, **102**, 356 (1984).
16. M. M. Ponpipom, R. L. Bugianesi, T. Y. Shen, A. Friedman, *Med. Chem.*, **23**, 1184 (1980).